

**ФОТОЯДЕРНЫЕ РЕАКЦИИ НА ЯДРАХ  $^{118}\text{Sn}$  И  $^{121}\text{Sb}$   
С ВЫЛЕТОМ ЗАРЯЖЕННЫХ ЧАСТИЦ**

**И. Н. Вишневский<sup>1</sup>, В. А. Желтоножский<sup>1</sup>, В. М. Мазур<sup>2</sup>, Е. В. Кулич<sup>3</sup>,  
А. Н. Саврасов<sup>1</sup>, Н. В. Стрильчук<sup>1</sup>**

<sup>1</sup>*Інститут ядерних ісследований НАН України, Київ*

<sup>2</sup>*Інститут електронної фізики НАН України, Ужгород*

<sup>3</sup>*Київський національний університет імені Тараса Шевченка, Київ*

Измерены изомерные отношения выходов ( $\gamma$ , p)- и ( $\gamma$ ,  $\alpha$ )-реакций для  $^{117\text{m},\text{g}}\text{In}$ . Для граничной энергии тормозных  $\gamma$ -квантов 22 МэВ получено значение  $Y^{\text{m}}/Y^{\text{g}} = 1,18(9)$  и  $0,23(9)$  соответственно. Показан статистический характер реакций при таких условиях. Проведен расчет изомерных отношений с использованием программного пакета TALYS.

### Введение

Фотоядерные реакции являются одним из наиболее изученных каналов возбуждения ядра [1]. В этих реакциях в ядро вносится определенный угловой момент ( $1\hbar$ ), а дисперсия моментов после испускания частиц невелика. Это открывает большие возможности для изучения свойств возбужденных состояний атомных ядер, используя измерение изомерных отношений.

Изомерные отношения (или изомерные выходы в фотоядерных реакциях) – это отношения сечений (соответственно выходов) реакций образования конечного ядра в изомерном и основном состояниях [2]. Величина изомерных отношений зависит от спина ядра мишени, вносимого углового момента, механизма протекания реакции и свойств возбужденных состояний как в дисперсионной, так и в непрерывной областях спектра. Поэтому изучение изомерных отношений позволяет исследовать как механизмы реакций, так и статистические свойства ядер в области непрерывного спектра (зависимость плотности возбужденных состояний от энергии возбуждения и углового момента).

Исследование изомерных отношений в фотоядерных реакциях наиболее полно проведено в ( $\gamma$ , n)- и ( $\gamma$ ,  $\gamma$ )-реакциях [3, 4]. Реакции ( $\gamma$ , p) изучены намного меньше. Данные об изомерных отношениях в ( $\gamma$ ,  $\alpha$ )-реакции отсутствуют. Основными причинами этого являются значительно меньшие сечения ( $\gamma$ , p)- и ( $\gamma$ ,  $\alpha$ )-каналов по сравнению с ( $\gamma$ , n)-реакцией. Например, при облучении ядер фотонами тормозного излучения с граничной энергией в районе гигантского дипольного резонанса (ГДР) выходы реакций ( $\gamma$ , p) в подбарьерной области энергий оказываются на тричетыре порядка меньше ( $\gamma$ , n)-реакций.

В то же время изучение изомерных отношений в реакциях с вылетом заряженных частиц представляет определенный интерес из-за их су-

щественного отличия от ( $\gamma$ , n)-реакции. Это отличие связано с тем, что в них возбуждаются другие состояния, часто недоступные для ( $\gamma$ , n)-канала. Кроме того, именно для фотоядерных реакций с вылетом заряженных частиц ожидается значительный вклад прямых и полупрямых процессов.

Целью данной работы является измерение изомерных отношений в ( $\gamma$ , p)- и ( $\gamma$ ,  $\alpha$ )-реакциях для  $^{117\text{m},\text{g}}\text{In}$ . Выбор данного ядра обусловлен удобными периодами полураспада для измерения активности и в некоторой мере является продолжением нашей работы в этой области [5].

### Экспериментальная методика

Изучение фотоядерных реакций проводилось с использованием тормозного излучения с граничной энергией 15 и 22 МэВ. Источником тормозного излучения являлись выведенные пучки электронов бетатрона Ужгородского государственного университета и микротрона М30 Института электронной физики НАН Украины. Облучаемые мишени помещались на бетатроне непосредственно за алюминиевым поглотителем. Облучалась сборка, состоящая из трех образцов ( $^{118}\text{Sn}$ -обогащения 98 %, естественных мишеней из сурьмы и золота). Данные о числе  $\gamma$ -квантов в тормозном спектре определяли из выхода реакции  $^{197}\text{Au}(\gamma, n)^{196\text{m},\text{g}}\text{Au}$ .

В работе использовалась активационная методика, основанная на измерении спектров  $\gamma$ -излучения, образующихся продуктов реакции [4].

На микротроне М30 проводились облучения мишени из олова, обогащенной  $^{118}\text{Sn}$  до 98 %. Масса мишени составляла около 1 г. Граничная энергия тормозных  $\gamma$ -квантов составляла 15 МэВ. Электроны “тормозились” на tantalовой мишени.

Спектры  $\gamma$ -лучей облученных образцов изменились на полупроводниковых спектрометрах с детекторами из сверхчистого германия. Эффек-

тивность регистрации  $\gamma$ -лучей составляла 30 % по сравнению с NaI(Tl)-детектором размерами  $3'' \times 3'$  и энергетическим разрешением 2,0 кэВ на  $\gamma$ -линиях  $^{60}\text{Co}$ . Измеренные спектры накапливались на персональных компьютерах и в дальнейшем обрабатывались с помощью программы <Winspectrum> [6]. Характерные спектры приведены на рис. 1, там же приведена схема распада  $^{117m,g}\text{In}$ .

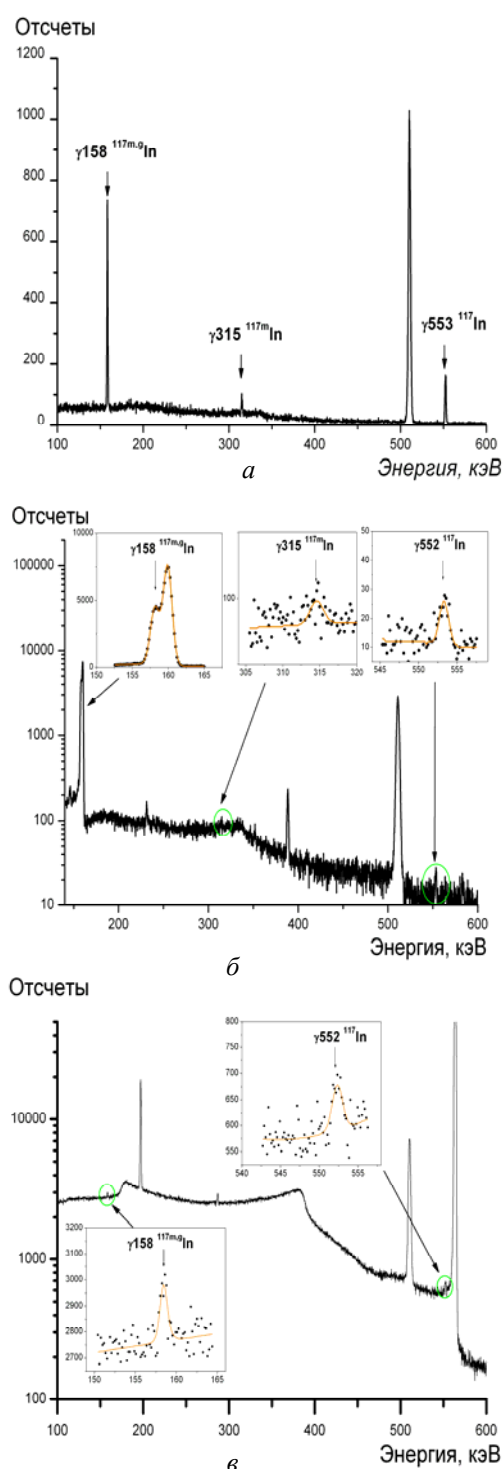


Рис. 1. Гамма-спектры  $(\gamma, p)$ -реакции на  $^{118}\text{Sn}$  при  $E^p = 22$  МэВ (a) и  $E^p = 15$  МэВ (б) и  $\gamma$ -спектры  $(\gamma, \alpha)$ -реакции при  $E^p = 22$  МэВ на  $^{121}\text{Sb}$  (в).

Анализ и обработка измеренных спектров  $\gamma$ -излучения позволили определить интенсивности  $\gamma$ -линий, связанных с распадом изотопов, образующихся в фотоядерных реакциях. Из этих данных были получены выходы реакций (число ядер – продуктов реакций), что позволило определить изомерные отношения выходов этих реакций.

Для расчета изомерных отношений выходов использована формула [4]

$$d = \frac{Y_m}{Y_g} = \frac{\lambda_g - \lambda_m}{\left\{ c \frac{N_g}{N_m} \frac{\varphi_m}{\varphi_g} (\lambda_g - \lambda_m) - p \lambda_m \right\} \frac{\lambda_g f_m(t)}{\lambda_m f_g(t)} + p \lambda_g},$$

$$f_{m,g} = \left[ 1 - e^{-\lambda_{m,g} t_{\text{обл}}} \right] e^{-\lambda_{m,g} t_{\text{окл}}} \left[ 1 - e^{-\lambda_{m,g} t_{\text{изм}}} \right],$$

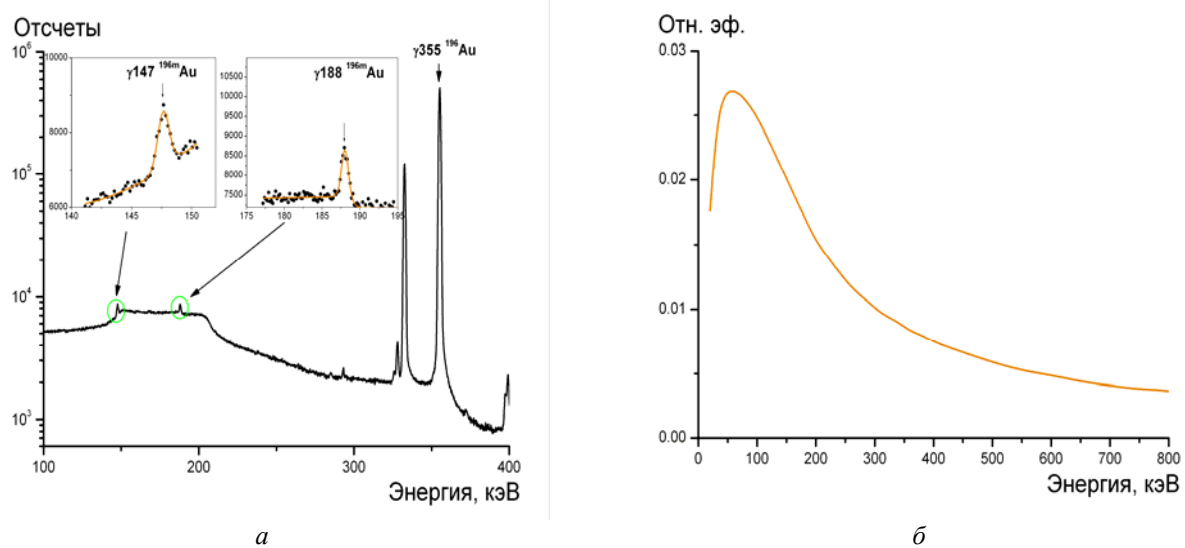
$$\varphi_{m,g} = \xi_{m,g} k_{m,g} \alpha_{m,g}.$$

Здесь  $\xi_m$ ,  $\xi_g$  - фотоэффективность детектора при регистрации  $\gamma$ -линий от распада изомерного (m) и основного (g) состояний соответственно;  $k_m$ ,  $k_g$  - поправки на самопоглощение соответствующих линий;  $\alpha_m$ ,  $\alpha_g$  - интенсивность  $\gamma$ -линий, ответственных за распад изомерного и основного состояний;  $\lambda_m$ ,  $\lambda_g$  - постоянные распада изомерного и основного состояний;  $t_{\text{обл}}$ ,  $t_{\text{окл}}$ ,  $t_{\text{изм}}$ ,  $t_{\text{окл}}$  - время облучения, охлаждения и измерения;  $N_m$ ,  $N_g$  - число импульсов в соответствующих фотопиках;  $c$  - поправка на просчеты и наложения импульсов;  $p$  - коэффициент ветвления.

Из наших данных о интенсивностях  $\gamma$ -переходов были получены для  $(\gamma, p)$ -реакции  $Y^m/Y^g = 1,18(9)$  для граничной энергии фотонов 22 МэВ и  $Y^m/Y^g = 6,7(9)$  для 15 МэВ. В  $(\gamma, \alpha)$ -реакции  $Y^m/Y^g = 0,23(9)$  для граничной энергии фотонов 22 МэВ.

Как уже обсуждалось выше, выход образовавшихся ядер нормировался на выход  $^{196m,g}\text{Au}$ , который исследовался в тех же условиях, что и для  $^{118}\text{Sn}$ ,  $^{121}\text{Sb}$ . Нами в  $\gamma$ -спектре наблюдались  $\gamma$ -линии как  $^{196m}\text{Au}(T_{1/2} = 9,7$  ч), так и  $^{196g}\text{Au}(T_{1/2} = 6,2$  сут). Спектр  $\gamma$ -лучей облучаемого образца  $^{197}\text{Au}$  приведен на рис. 2, там же приведена кривая эффективности спектрометра. Для калибровки использовались источники  $^{152,154,155}\text{Eu}$ , измеренные в той же геометрии, что и основные измерения.

Из этих данных нами было определено изомерное отношение, которое оказалось равным  $Y_m/Y_g = (5,9 \pm 0,3) \cdot 10^{-4}$ . Оно близко к значениям, полученным в других работах. Это является указанием на то, что калибровка спектрометра не содержит значительных методических погрешностей.

Рис. 2. Гамма-спектр ( $\gamma$ , n)-реакции на  $^{197}\text{Au}$  (а) и кривая эффективности спектрометра (б).

### Результаты и обсуждение

Измерение выходов ( $\gamma$ , p)-реакции для граничной энергии 15 МэВ выполнено с целью улучшения погрешности ранее проведенных исследований [5]. В данном случае получено значение  $Y_m/Y_g = 0,15 \pm 0,03$ . Оно хорошо согласуется с ранее полученным значением  $Y_m/Y_g = 0,09 \pm 0,07$ , однако в наших измерениях точность значительно выше. Здесь хотелось отметить соотношение в возбуждении  $^{117\text{m},\text{g}}\text{Sn}$  по сравнению с  $^{117\text{m},\text{g}}\text{In}$  в ( $\gamma$ , n)-реакции, которое оказалось равным  $Y(^{117}\text{In})/Y(^{117\text{m}}\text{Sn}) = 2,4 \cdot 10^{-3}$ . Видно, что вклад ( $\gamma$ , p)-канала составляет десятые доли процента. Это указывает на необходимость тщательного измерения возможных примесей в мишени.

В ( $\gamma$ , p)-реакции при  $E^{\text{тр}} = 22\text{МэВ}$  в наших измерениях  $Y_m/Y_g = 1,18 \pm 0,09$ . Это соотношение значительно больше, чем при  $E^{\text{тр}} = 15$  и 16 МэВ [5]. В то же время значение, полученное нами, расходится с данными из [7], где эта величина  $Y_m/Y_g = 0,26 \pm 0,03$ . Здесь необходимо отметить, что данные о ( $\gamma$ , p)-реакции для  $^{117\text{m},\text{g}}\text{In}$  очень противоречивы. В таблице нами приведены имеющиеся экспериментальные данные. Как видно, практически нет повторяющихся данных. Наши данные кажутся нам более достоверными по некоторым причинам. Во-первых, изомерное отношение нами определялось по интенсивности линий  $\gamma$ 315 и  $\gamma$ 552 кэВ. Статистическая погрешность определения интенсивности  $\gamma$ 315 кэВ составила 5 %, а  $\gamma$ 552 кэВ – 2 %. На рис. 2 приведена кривая эффективности  $\gamma$ -спектрометра. Как видно, энергии этих  $\gamma$ -переходов находятся в области плавного изменения эффективности, поэтому относительные погрешности для указанных энергий будут даже меньше эксперимен-

тальных, т.е. в любом случае они не превышают 5 %. Во-вторых, нами одновременно облучались мишени из  $^{118}\text{Sn}$ , сурьмы и золота. Из данных о выходах  $^{196\text{m,g}}\text{Au}$  мы определили  $Y_m/Y_g = (5,9 \pm 0,3) \cdot 10^{-4}$  для  $^{196\text{m}}\text{Au}$ . Измерения проводились на одном и том же спектрометре и в одной геометрии, как и для  $^{118}\text{Sn}$ . Выходы активностей определялись по  $\gamma$ 147,  $\gamma$ 187 и  $\gamma$ 356 кэВ. Полученные нами значения оказались близкими к результатам из [8], где  $Y_m/Y_g = 6,1 \cdot 10^{-4}$ . Это указывает на отсутствие значительных методических погрешностей.

И, наконец, нам хотелось бы прокомментировать возможный источник ошибок в ранее выполненных исследованиях. Из спектра  $\gamma$ -лучей, приведенного в [7], видно, что в спектре присутствуют  $\gamma$ 160, 313 и  $\gamma$ 552 кэВ, хотя они возбуждали  $^{119\text{m,g}}\text{In}$ . Наличие  $\gamma$ 160 кэВ может быть обусловлено реакциями  $^{118}\text{Sn}(\gamma, p)^{117\text{m,g}}\text{In}$  и  $^{124}\text{Sn}(\gamma, n)^{123\text{m,g}}\text{Sn}$ . Как видно из спектра на рис. 1, даже при нашем энергетическом разрешении спектрометров  $\gamma$ 158 и  $\gamma$ 160 кэВ наполовину разделяются. Спектрометры, использовавшиеся в ранее проведенных исследованиях, имели значительно худшее энергетическое разрешение, т.е.  $\gamma$ 158 и  $\gamma$ 160 кэВ были одной  $\gamma$ -линией. Разделение этих переходов по периодам полураспада очень сложно, так как мы имеем смесь переходов с  $T_{1/2} = 116$  мин ( $^{117\text{m}}\text{In}$ ), 43 мин ( $^{117\text{g}}\text{In}$ ), 13,6 сут ( $^{117\text{m}}\text{Sn}$ ) и 40 мин ( $^{123\text{m}}\text{Sn}$ ). На наш взгляд, это является одним из основных источников расхождений. Хотя не исключено и влияние формы тормозного спектра, которая может сильно зависеть от выбранной тормозной мишени, что может сдвигать эффективную энергию возбуждения.

Из данных о возбуждении  $^{117}\text{In}$  в ( $\gamma$ ,  $\alpha$ )-реакции на  $^{121}\text{Sb}$  нами впервые определено изомерное отношение для тормозного излучения с гранич-

**Изомерные отношения выходов ( $\gamma$ , p)-реакции при заселении  
высокоспиновых состояний по отношению к низкоспиновым для ядра  $^{117}\text{In}$**

$E, \text{р.МэВ}$	$Y_h/Y_l$	Литература	$E, \text{р.МэВ}$	$Y_h/Y_l$	Литература
15	$0,09 \pm 0,07$	[5]	24	$0,26 \pm 0,03$	[7]
15	$0,15 \pm 0,03$	настоящая	24	$0,07 \pm 0,02$	[12]
16	$0,24 \pm 0,02$	[5]	25	$0,34 \pm 0,03$	[11]
18	$0,17 \pm 0,03$	[9]	30	$0,32 \pm 0,3$	[11]
22	$0,105 \pm 0,04$	[10]	30	$1,52 \pm 0,16$	[11]
22	$0,85 \pm 0,04$	настоящая	40	$1,18 \pm 0,12$	[11]
22	$0,38 \pm 0,04$	[11]	43	$1,09 \pm 0,01$	[12]

ной энергией 22 МэВ  $Y_m/Y_g = 0,23 \pm 0,09$ . Как следует из эксперимента, при испускании  $\alpha$ -частиц происходит доминирующее заселение высокоспиновых состояний. Анализ Q-величин, спинов мишеней показывает, что при испускании протонов для  $^{118}\text{Sn}$  минимальная кинетическая энергия, необходимая для преодоления кулоновского барьера  $E_K \sim 7$  МэВ. Таким образом, с учетом кулоновского барьера максимальная энергия возбуждения остаточного ядра пучком тормозных  $\gamma$ -квантов от бетатрона составляет 5 МэВ. Для протонов с энергией 5 МэВ орбитальный момент может варьироваться от 0 до 2. Фактически у нас образуются состояния с полными моментами от  $1/2^-$  до  $7/2^-$ . В спектре дискретных возбужденных состояний  $^{117}\text{In}$  в области меньше 1 МэВ есть состояния  $748(7/2^+)$  и  $881(5/2^+)$  кэВ, которые полностью разряжаются в высокоспиновое состояние. С учетом этих факторов  $\gamma$ -переходы из области энергий 2 - 5 МэВ будут равновероятно заселять основное и изомерное состояния  $^{117}\text{In}$ , что и наблюдается в эксперименте.

Иная ситуация наблюдается в ( $\gamma$ ,  $\alpha$ )-реакции. Для ( $\gamma$ ,  $\alpha$ )-реакции  $Q_\alpha = 2$  МэВ, спин основного состояния  $^{121}\text{Sn}$   $I^\pi = 5/2^+$ . Таким образом, в области ГДР будут возбуждены состояния со спинами  $I^\pi = 3/2^-, 5/2^-$  и  $7/2^-$  ( $\alpha$ -частица наиболее “упакованное” ядро и она уносит большой угловой момент, поэтому можно ожидать, что спин остаточного ядра значительно изменится в большую сторону по сравнению с ( $\gamma$ , p)-реакцией, где имеется одно  $1^-$ -состояние). Оценки в статистическом подходе показывают, что в этом случае  $Y_m/Y_g \approx 0,2$ , т.е. полностью совпадает с нашим экспериментальным значением.

Из всего вышеизложенного следует, что испарительные процессы доминируют и при вылете заряженных частиц в области выше кулоновского барьера.

Нами проведен расчет изомерных отношений с помощью программного пакета TALYS [14]. В

пакете пять вариантов модельных подходов к описанию плотности уровней (выбор их задается входным параметром  $l\text{dmodel}$ ). 50 нижних дискретных уровней учитываются в автоматическом режиме, их характеристики и схемы распада берутся из библиотеки RIPL-2. Расчеты изомерных отношений проводились при следующих энергиях  $\gamma$ -квантов:

для  $E^{\text{р}} = 15$  МэВ, начиная с порога  $^{118}\text{Sn}(\gamma, p)$ -реакции и до 15 МэВ с шагом 1 МэВ;

для  $E^{\text{р}} = 22$  МэВ, начиная с порога  $^{197}\text{Au}(\gamma, n)$ - $^{118}\text{Sn}(\gamma, p)$ - и  $^{121}\text{Sb}(\gamma, \alpha)$ -реакций и до 22 МэВ с шагом 1 МэВ.

Результаты расчетов позволили выделить следующие тенденции:

для ( $\gamma$ , p)-реакции  $Y^m/Y^g$  изменяется от 5,48 при  $E_\gamma = 14$  МэВ до 2 при  $E_\gamma = 22$  МэВ, уменьшаясь с ростом энергии. Эта же тенденция наблюдается и в эксперименте, однако теоретическое значение при  $E_\gamma = 22$  МэВ завышено примерно в два раза;

для ( $\gamma$ ,  $\alpha$ )-реакции  $Y^m/Y^g$  изменяется от 0,91 при  $E_\gamma = 14$  МэВ до 0,4 при  $E_\gamma = 22$  МэВ, уменьшаясь с ростом энергии. Здесь теоретическое значение для  $E_\gamma = 22$  МэВ также завышено в два раза;

для  $^{197}\text{Au}(\gamma, n)^{196\text{m},\text{g}}\text{Au}$ -реакции  $Y^m/Y^g = 2,3 \cdot 10^{-4}$  при  $E_\gamma = 22$  МэВ, т.е. занижено примерно в два раза.

С учетом того, что спин изомера в  $^{117}\text{In}$  низкий ( $1/2^-$ ), а в  $^{196}\text{Au}$  – высокий ( $12^-$ ), из наших данных следует, что модельная плотность низкоспиновых состояний завышена примерно в два раза как для ядер с  $A \sim 120$ , так и для  $A = 196$  в области возбуждения остаточного ядра  $E \sim 10$  МэВ.

На наш взгляд, это указывает на наличие значительного вклада прямых реакций. Мы же во всех случаях для описания плотности уровней использовали модель Ферми-газа со смешенной энергией [15]. При этом вклад предравновесной компоненты в общее сечение реакций не превышал 10 %.

## СПИСОК ЛИТЕРАТУРЫ

1. Ииханов Б.С., Капитонов И.М. Взаимодействие электромагнитного излучения с атомными ядрами. - М.: Изд-во МГУ, 1979. - 215 с.
2. Huizenga J.R., Vandenbosch R. Interpretation of isomeric cross-section ratios for ( $\gamma$ , n) and ( $\gamma$ , p) reactions // Phys. Rev. - 1960. - Vol. 120, No. 4. - P. 1305 - 1312.
3. Гангрский Ю.П., Мазур В.М. Рассеяние  $\gamma$ -квантов ядрами и возбуждение изомерных состояний // ЭЧАЯ. - 2002. - Т. 33, вып. 3. - С. 158 - 200.
4. Ditrich S., Berman B. Atlas of photoneutron cross sections obtained with monoenergetic photons // Atomic Data and Nuclear Data Tables. - 1988. - Vol. 38, No. 2. - P. 199 - 338.
5. Бесшико О.А., Вишневский И.Н., Желтоножский В.А. и др. Исследование изомерных отношений в ( $\gamma$ , n)- и ( $\gamma$ , p)-реакциях на ядрах  $^{120,122m,g}\text{Sb}$  и  $^{117m,g}\text{In}$  // Изв. РАН. Сер. физ. - 2005. - Т. 69, № 5. - С. 663 - 666.
6. Вишневский И.Н., Желтоножский В.А., Зелинский А.Г. и др. Атомно-ядерные эффекты в процессе внутренней конверсии  $\gamma$ -лучей // Зб. наук. праць Ін-ту ядерних досл. - 1999. - С. 60 - 65.
7. Гангрский Ю.П., Зузан П., Колесников Н.Н. и др. Изомерные отношения в реакциях ( $\gamma$ , p) при энергиях гигантского дипольного резонанса // Ядерная физика. - 1999. - Т. 62, № 10. - С. 1733 - 1739.
8. Thiep T.D., An T.T., Vinh N.T. et al. Experimental study and theoretical consideration of the isomeric ratio in photonuclear reaction  $^{197}\text{Au}(\gamma, n)$   $^{196m,g}\text{Au}$  in the giant dipole resonance region // Письма в ЭЧАЯ. - 2006. - Т. 3, № 4. - С. 7 - 16.
9. Kolev D., Ernst J. The role of angular-momentum removal in photonuclear reactions as deduced from the isomeric ratios for  $^{120m,g}\text{Sb}$  and  $^{117m,g}\text{In}$  // J. Phys. G: Nucl. Part. Phys. - 1998. - Vol. 24, No. 3. - P. 589 - 599.
10. Давыдов М.Г., Магера В.Г., Трухов А.В. и др. Изомерные отношения выходов фотоядерных реакций для гамма-активационного анализа // Атомная энергия. - 1985. - Т. 58, вып. 1. - С. 47 - 50.
11. Палванов С.Р., Рагжабов О. Изомерные отношения выходов фотоядерных реакций при  $E_{\gamma,\max}$  25 и 30 МэВ // Атомная энергия. - 1999. - Т. 87, вып. 1. - С. 75 - 78.
12. Kolev D., Dobreva E., Nenov N. et al. A convenient method for experimental determination of yields and isomeric ratios in photonuclear reactions measured by the activation technique // Nucl. Inst. and Meth. in Phys. Res. A. - 1995. - Vol. 356, No. 2 - 3. - P. 390 - 396.
13. Демехина Н.А., Данагулян А.С., Карапетян Г.С. Анализ изомерных отношений в ( $\gamma$ , n)- и ( $\gamma$ , p)-реакциях в области энергий гигантского резонанса // Ядерная физика. - 2002. - Т. 65, № 2. - С. 390 - 395.
14. Koning A.J., Hilaire S., Duijvestijn M.C. .TALYS: Comprehensive nuclear reaction modeling // Proc. of the Intern. Conf. on Nuclear Data for Science and Technology. - 2005. - Vol. 769. - P. 1154 - 1159.
15. Dilg W., Schantl W., Vonach H., Uhl M. Level density parameters for the back-shifted fermi gas model in the mass range  $40 < A < 250$  // Nucl. Phys. A. - 1973. - Vol. 217, No. 2. - P. 269 - 298.

ФОТОЯДЕРНІ РЕАКЦІЇ НА ЯДРАХ  $^{118}\text{Sn}$  И  $^{121}\text{Sb}$  З ВИЛЬТОТОМ ЗАРЯДЖЕНИХ ЧАСТИНОК

**I. M. Вишневський, В. О. Желтоножський, В. М. Мазур, Е. В. Кулич,  
А. М. Саврасов, М. В. Стрільчук**

Визначено ізомерні відношення виходів ( $\gamma$ , p)- і ( $\gamma$ ,  $\alpha$ )-реакцій для  $^{117m,g}\text{In}$ . Для граничної енергії гальмівних  $\gamma$ -квантів 22 МеВ отримано значення  $Y_m/Y_g = 1,18(9)$  і  $0,23(9)$  відповідно. Показано статистичний характер реакцій за таких умов. Проведено розрахунок ізомерних відношень із використанням програмного пакета TALYS.

**PHOTONUCLEAR REACTIONS ON NUCLEI OF  $^{118}\text{Sn}$  AND  $^{121}\text{Sb}$   
WITH ESCAPING OF CHARGED PARTICLES**

**I. M. Vyshnevskyi, V. A. Zheltonozhskyi, V. M. Mazur, E. V. Kulich,  
A. N. Savrasov, N. V. Strilchuk**

The isomeric yield ratios of ( $\gamma$ , p)- and ( $\gamma$ ,  $\alpha$ )-reactions on  $^{117m,g}\text{In}$  have been measured. It has been found that  $Y_m/Y_g = 1,18(9)$  and  $0,23(9)$ , respectively, for the end-point of the bremsstrahlung photons equal to 22 MeV. It has been shown that reactions have statistical character in such conditions. The calculation of isomeric ratios has been done using a code TALYS.

Поступила в редакцию 05.12.07,  
после доработки – 27.12.07.